



MASTER SAR 1^{ÈRE} ANNÉE

2024 - 2025

Rapport de Projet de Modélisation :

Conception, Modélisation et Commande d'un robot
parallèle 3RRR

Auteurs :

Baptiste BRAUN-DELVOYE
Julien SAGNES

Professeur :

Faiz BEN-AMAR

19 mai 2025

Table des matières

Introduction	2
I Conception	2
I.1 Bras du robot	2
I.2 Effecteur	3
I.3 Moteur	3
I.4 Assemblage	4
I.5 Singularités	4
II Simulation	5
II.1 Le simulateur	5
II.2 Contrôle par le clavier	7
II.3 Méthode des dessins	7
III Réalisation	9
Conclusion	9
Bibliographie	10

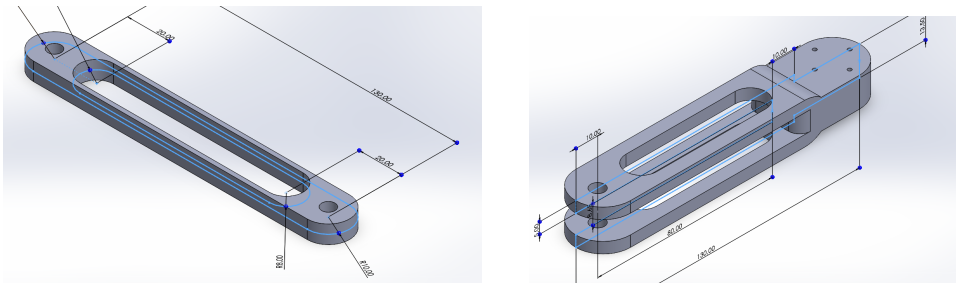
Introduction

I Conception

Pour la conception, nous utilisons le logiciel SolidWorks. Nous avons décidé de suivre le modèle du TP pour dessiner les différentes pièces, en s'assurant de garder des distances de l'ordre de la dizaine de centimètre ; nous nous assurons de ne pas concevoir un robot trop grand.

I.1 Bras du robot

Dans un premier temps, nous concevons les bras qui composent le robot pour décider de la taille générale de la maquette. Également, il est question de minimiser la quantité de matériaux utilisée pour les différentes pièces dans l'objectif de réduire le coût d'impression 3D. Nous opérons donc une optimisation topologique sur les différents bras en effectuant des allégements, comme nous pouvons le voir sur la figure I.1, qui détaille aussi les côtes des pièces en millimètres. Du reste, nous utilisons des congés pour adoucir les bords des pièces afin de rendre le robot plus harmonieux.



(a) Bras effecteur

(b) Bras moteur

FIGURE I.1 – Allègement des bras du robot

I.2 Effecteur

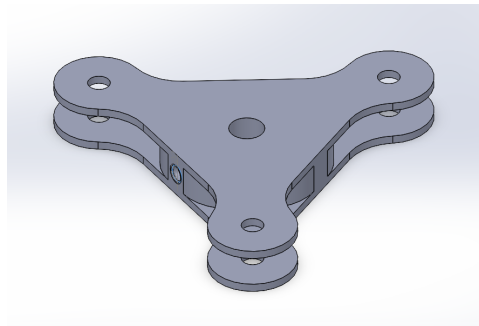
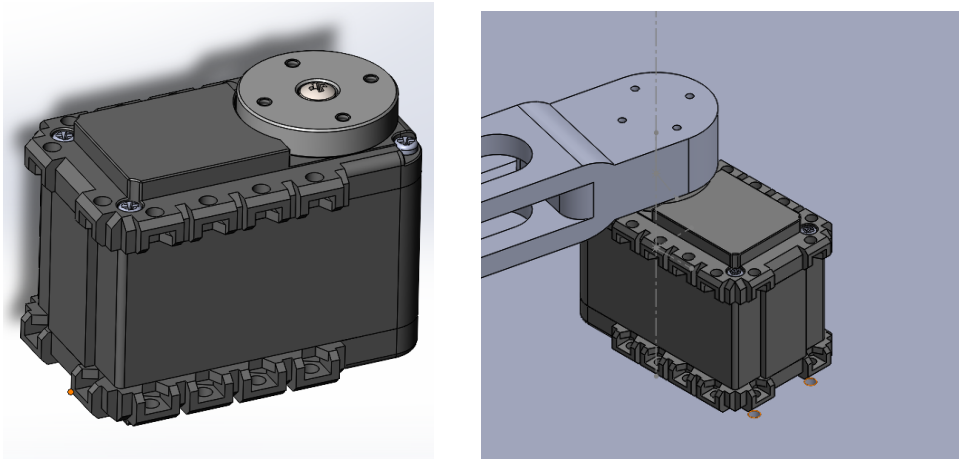


FIGURE I.2 – Effecteur

Pour l'effecteur, nous optons pour une forme triangulaire, dont les côtés sont agencés de telle sorte qu'ils puissent accueillir les boulons. En effet, les trous que nous faisons sur les pièces (liaison pivot entre les bras et l'effecteur) ont pour but d'accueillir des boulons M6 (diamètre du trou 6.3 mm), auquel on rajoute un jeu de 0.15 mm. Dans un but de maximisation de l'espace de travail, nous effectuons des extrusions sur le bord de la pièce pour éviter les blocages et assurer une rotation libre, comme nous pouvons le voir sur la figure I.2. Nous ajoutons également un trou au centre pour accueillir un stylo que l'on serre avec une vis M5.

I.3 Moteur

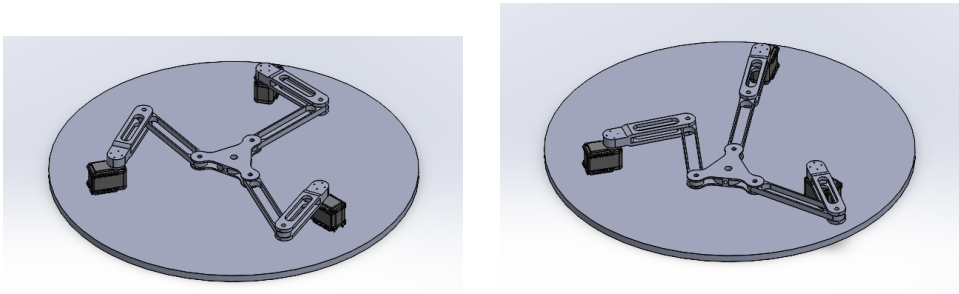
Quant aux moteurs, nous avons importé le cerveau moteur de type AX12 de Dynamixel que nous fixerons au bras grâce à quatre vis M2, comme nous pouvons le voir sur la figure I.3.



(a) Moteur assemblé

(b) Moteur accroché

FIGURE I.3 – Moteur AX12



(a) Assemblage du robot

(b) Assemblage après mouvement

FIGURE I.4 – Assemblage sur SolidWorks

I.4 Assemblage

Enfin, nous effectuons l'assemblage du robot en utilisant des contraintes standards de coaxialité et de coïncidence pour les vis, et des liaisons pivots entre les bras et l'effecteur. Nous accrochons ensuite les moteurs à une base fixe pour que ces derniers restent immobiles, comme illustré sur la figure I.4.

I.5 Singularités

On propose 3 captures d'écrans des 3 différentes singularités sur la figure I.5.

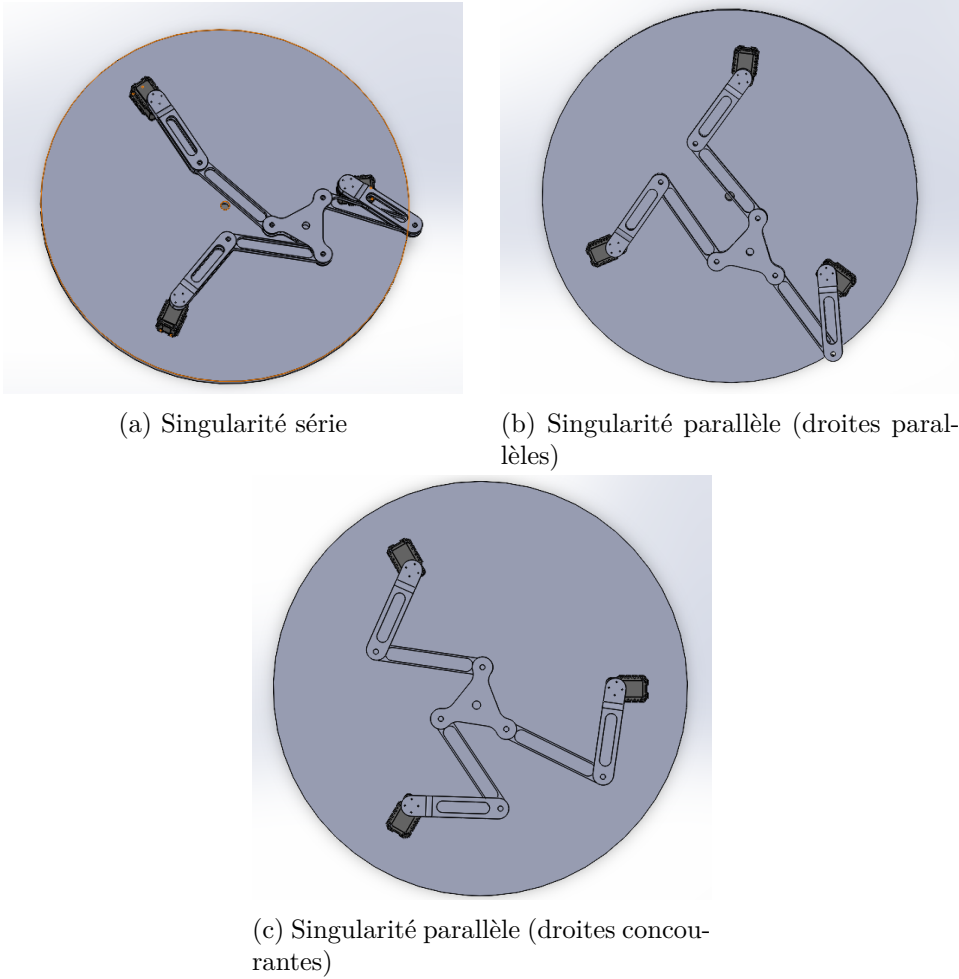


FIGURE I.5 – Singularité série et parallèles

II Simulation

II.1 Le simulateur

Afin de simuler le robot, nous avions accès à des codes en MatLab. Ces codes permettent de calculer le modèle géométrique inverse de façon analytique et numérique, ainsi qu'une fonction permettant de tracer la configuration de l'appareil.

Notre première étape fut de transformer ces codes sous Python afin de les utiliser dans notre simulation. Pour celle-ci, nous avons utilisé la bibliothèque PyGame, qui permet d'afficher des éléments graphiques avec de l'animation. Par simplicité, nous avons créé une classe Robot3RRR pour tous les calculs nécessaire à la simulation. Vous pouvez retrouver un UML simplifié de notre classe sur la Figure II.1.

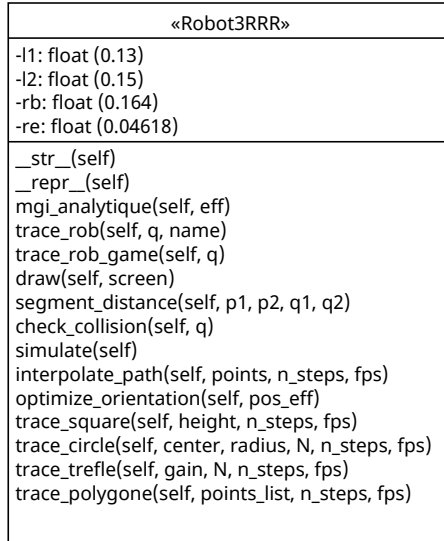


FIGURE II.1 – UML de notre classe Robot3RRR

Une des premières choses que nous avons fait est de comparer la méthode numérique et la méthode analytique pour voir si la représentation graphique fonctionnait bien. TODO - check si on garde ce point là.

Pour notre simulation nous avons décidé d'utiliser uniquement la méthode analytique pour résoudre le modèle géométrique inverse. Cela pourrait être intéressant de voir si la méthode numérique serait plus efficace ici.

L'affichage de notre simulateur ressemble à la Figure II.2. Au centre se trouve notre robot. Les bras sont initialement de même longueur que notre modélisation 3D. Ces dimensions peuvent être changées lors de l'appel de la classe. Au centre du robot, nous retrouvons notre effecteur qui, dans le projet, est un stylo, nous avons donc fait en sorte que le robot trace son déplacement en même temps.

Notre simulation permet de contrôler l'effecteur via les touches de notre clavier, mais aussi de dessiner des formes prédéfinis :

- un carré
- un cercle
- un polynôme quelconque
- un trèfle

Nous allons développer le fonctionnement du contrôle du clavier et la méthode pour dessiner dans les sous-parties suivantes.

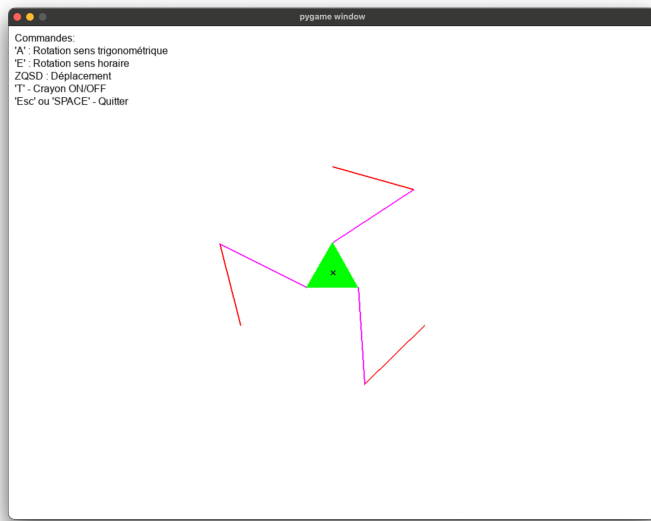


FIGURE II.2 – Image de notre simulateur - Contrôle du robot par clavier

II.2 Contrôle par le clavier

Comme vu dans la Figure II.2, lorsque nous lançons le contrôle par clavier, les touches de commandes s'affichent en haut à gauche de la fenêtre. Nous pouvons :

- déplacer l'effecteur avec Z,Q,S,D,A et E
- Activer le crayon ou non avec T
- Quitter la simulation avec ESC ou ESPACE

À la fin, après avoir quitté, une fenêtre Matplotlib apparaît afin de voir la dernière position du robot et le dessin tracé. Il est très simple une fois la simulation faite de sauvegarder la liste de positions de l'effecteur et d'utiliser la méthode pour tracer un polynôme afin de garder ce dessin pour une utilisation type usine.

II.3 Méthode des dessins

Notre méthode *interpolate_path* prend les points de la figure (par exemple les quatres points du carré) et fait une interpolation entre ces points afin que le robot suive la bonne courbe.

Lors du calcul de la position, nous prenons en compte les singularités possibles du robot. Si nous sommes dans le cas de la singularité série, le robot se bloque dans la direction limité uniquement. Pour les singularités parallèles nous calculons la valeur de l'angle de rotation de l'effecteur permettant d'avoir le déterminant de la matrice A le plus grand entre ± 1 degrés de l'angle actuel.

Nous avions initialement voulu calculé pour chaque pas de temps la position de l'effecteur donnant le déterminant le plus grand, mais cela prenait un temps considérable en calcul et nous avons donc préférer opter pour une option plus rapide.

Pour tracer les différentes figures, nous avons une fonction pour chacune d'elles permettant de crée les points que l'effecteur devra passer par. Ensuite nous utilisons une fonction d'interpolation de point qui va construire la ligne que le robot devra suivre entre 2 points.

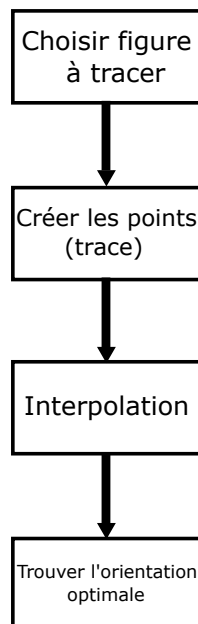


FIGURE II.3 – Diagramme de la méthode pour tracer une figure

Afin d'éviter les singularités parallèles nous modifions la rotation de l'effecteur. Pour faire cela, nous déterminons la matrice A de l'énoncé, et nous calculons son déterminant. De par la limitation de la simulation, les coudes des 3 bras seront toujours dans le même "sens", ainsi nous évitons naturellement le cas de singularité parallèle où les avant-bras sont parallèles. Nous devons donc uniquement regardé si le déterminant de la matrice est proche de 0. Dans tous les cas nous recherchons à éloigner le plus possible le robot d'une configuration de droites concourantes en évitant les collisions.

TODO - Bien expliquer la façon dont on optimise l'orientation de θ_e avec la méthode (optimize_orientation). L'idée étant de s'éloigner le plus possible des configurations de droites concourantes, en évitant les collisions (avec la méthode check_collision et segment_distance).

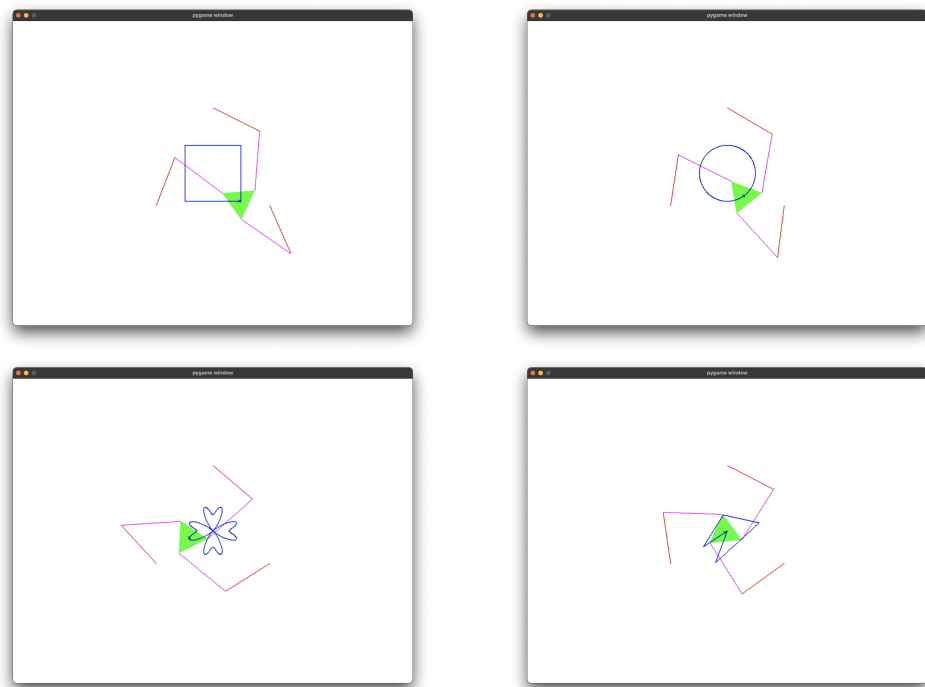


FIGURE II.4 – Image des 4 types de dessins disponibles par la simulation - dans l'ordre de lecture : carré, cercle trèfle, polynôme.

III Réalisation

Conclusion

Bibliographie

- [1] O. HAMDOUN, « Inverse Kinematic Modeling of 3RRR Parallel Robot », *Congrès français de mécanique*, Congrès Français de Mécanique, A. F. de MÉCANIQUE, éd., août 2015. (visité le 20/04/2025).